

Ci-Ni

VIII 9483 1947

Pr₂Ni, Pr₂Ni₅, Pr₃Ni, CeNi, CeNi₅,
Ce₃Ni, Ce₃Co, LaNi, LaNi₅, La₃Ni
(Tm)

Vogel R., Fülling,
Metallforschung, 1947, 2, 97

5

Cire 500

met & S-ke

$P_x Ni_3$, $CeNi_3$ (K pieces comp-⁽¹⁹⁵⁹⁾pa)

Cromer D.T., Olsen C.E.

Acta crystallogr., 1959, 12,
No, 639.

114

PX, 1960, 21203

$\alpha \beta_5$ $\alpha = Y, La, Ce, Pr, Nd, Eu, Dy$
 $\beta = Co, Ni, Cr.$ (perov. emp-pa)

Wernick J.Y., Yellen S.,
Acta crystallogr.,
1959, 12, 659, 662 - 665.

PX, 1960, 16668 mi

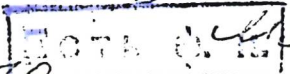
AB₅, AB₂, BB, 1/3 B. VIII 4029

H-Y, La, Ce, Sm, Yb, Dy, Er 1960
B - Eu, Co, Ni

(specie. comp-pa)

Mossan R., Chazey L.V.,
Wallace W.S.

Y. Phys. And Chem. Solids,
1960, 10, 14-2, 123-130



Publ. 1961, 52227D

TR Al₂, TR Mn₂, TR Fe₂, VIII 4101 1960

TR Co₂, TR Ni₂

Cr. str.

Wernick J. H., Geller S.

Trans. Metallurg. Soc. AJME, 1960,
218, N5, 866-868

Rare-earth compounds with
the Mg Cu₂ structure

14

PX, 1962

N 65177

PL φ

VIII 2252

1961

Ce₇Ni₃ (Krusz. cup.)

Roof R.B., Larson A.C.,

Cromer D.T.,

Acta crystallogr.,

1961, 14, n10, 1084-1087

Prax, 1962, 75/74 Me lets open

VIII 1005

1964

R Ni, ige R=La, Ce, Pr, Nd, Pm, Sm, Eu, Gd,
Tb, Dy, Ho, Er, Tm, Yb, Lu, Tu, Y
(T_{tr})

Abrahams S.C., Bernstein J.L.
Sherwood R.C., Wernick J.H., Williams H.
J. Phys. and Chem. Solids,
1964, 25, n10, 1069-1080

Pfleiderer, 1965, 321184 B, A1, MII

R.M. ($R = 13\text{M}$). (episcia. cusp - po_{T₂})
1964)

Walline R.E., Wallace W.E.,

J. Chem. Phys.,
1964, 41, pt 6, 1587-1591.

S, Au, Au

PX, 1965, 8B321

"M" / M' = Sc, Y, La, P37 Ti, V, Cr
(M" = Rh, Fe, Ni, Pt) 1965
(окраска. син-роз)

Dwight A. S., Connell R. A.,
J., Dordrey J. W., VIII 3949

Acta crystallogr.,
1965, 18, pt 5, 835.

P.M., 1965, 10431.

M.S.

Jan. 20 1965

VIII 138

1967

Ce₇Ni₃ 4 gp. (krenn. cup-pe)

Lemaire R., Paillard D.

Bull. Soc. franç. mineral. et

crystallogr., 1967, 90, n^o 3, 311



MH

T₂ Ni₇ IT = P3 Muñoz Y) VI 5695
(50μm x 1cm p-va, Ttr) 1967

Lemaire A., Passard D.,
Pauthenet René,
C. r. Acad. Sci.

1967, 265, n°23, B 1280

Publ. 1968, 621228

CeNi, PuNi, CeNi₂; PuNi₂; CeNi₃ 1967

PuNi₃; Ce₂Ni₃ (Tm) VIII 308

~~Meschanskaya St. C., Krasnaya Bl.,~~
~~TsDRImparab T.I.T., Teplopolib.~~

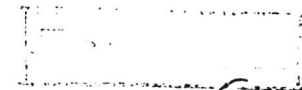
Pletronium Reactor Fuel.

Vienna 1967, 15.1

Menshikova T.S., Avilov ^{ASh} V.S., Chebotarev I.T.,
Petrov P.N. Pall 1968 5

T. Ni₃ (T = P3M, Y) 1967
(species. eup-pa, Tic) VIII 4360

Paceard D., Pauchetnet R.,
C. r. Acad. sci.,
1967, 264, or 15, B 1056. -1059



B, M, 444
P.M, 1967, 10 21 178

VIII 751.

1968

Ni-M, Bi-M, zge M = Ce, Pr, Nd, La
(CP, C/T)

Koyagi M.

Dissert. Abstz., 1968, B28 (10),
4082.

Cdt, 1968, 69, d8, 308164

5

VIII 3508

1968

Mg₂Zn₇Si₆O₂₃, Me = Mg, Mn, Ni, Co, Fe
Mn₂Zn₇Si₆, Zn = La, Nd, Sm, Gd, Dy, Ho, Er
Ca₉P₆O₂₄ (Ksp. emp.)

I to 7:

J. Res. Nat. Bur. Standards,

1968, A72, 355-358

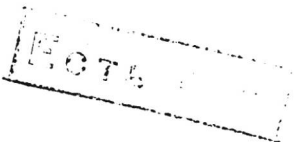
Me corr cp.K.

Ce Ni₂ n.g.p. (k.p. emp) VIII 152
1968

Maussey R.C., Raynor G.V.,
Harris I.R., F. Less-Common
Metals, 1968, 14, n^o 3 337-347



111



R_2M_2 / $R = Ce, Sm, Gd, Tb, Dy, Ho, Er$

La. $M = Fe, Ni$ / space. comp.

VIII 151

Massey R. C., Raynor G. V.

Harris T. R.

J. Less - Common Metals,

1968, 14, 03, 329 - 336

11.37

PX, 1958, 22 Feb 456 W.H.

VIII 1906

Ce₆Ni₆Si₇; Ce₃Ni₆Si₂; Ce Ni_{7,8-6,5}Si_{5,2-6,5}; Ce Ni_{8,6}Si_{2,4}Si_{0,9}
CeNi_{8,7-8,2}Si_{4,3-4,8} 8 Крас. сплошь

Богак О.Н., Челябинский З.И.

"Изв. Академии наук СССР. Металлургия",
1969, 5, №12, 2060-2065

Состав чугун - никель - кремний 6
стали 0-33,3 ат% Ce.

○ ~~ст~~ №1

Ф.М., 1970, 5 № 59

17-

LaNi_3 , CeNi_3 , PrNi_3 , NdNi_3 , GdNi_3 , TbNi_3 , DyNi_3 ,
 HoNi_3 , ErNi_3 , YNi_3 , La_2Ni_7 , Ce_2Ni_7 , Pr_2Ni_7 , Nd_2Ni_7 ,
 Gd_2Ni_7 , Tb_2Ni_7 , Dy_2Ni_7 , Ho_2Ni_7 , Er_2Ni_7 , Y_2Ni_7

Buschow K.H.J., Goot A.S. 8 ^{Хим. спр.} VII 4832

"J. Less-Common Metals", 1970, 22, N₄, 419-428
(акт.)

Установлена структура соединений
никеля с редкими землями типа LaNi_7 .

P.M., 1971, 6137 ○ Ас. № 25

C_nAl, P₂NiAl, NdNiAl, GdNiAl, TbNiAl, 1970
DyNiAl, HoNiAl, ErNiAl. 8 VIII 4863 Криц. спр-я.

Lean B., Wallace W.F.

J. Less-Common Metals 1970, 22, n1,
1-10 (анн.)

Классификация и структурные
характеристики твердых интерметаллических соединений
самарий-боридов, содержащих цальций.
Мат.

ДС, 1971, 24242



14

La₂B₆, LaBi, LaAl₂, Pr₂B₆, PrBi, PrNi₂, 1970
PrAl₂, GdAl₂, NdNi₂, CeAl₂, CeNi₂, GdNi₂
(Cp) VIII 5063

Wallace W. S., Craig R. C., Thompson

H., Deenadas C., Riocon M., Aoya-
gi M.; Marzouk N., Colloq. int.

CNRS., 1970, N18012, 427-441

Heat capacity studies of interme-
tallic compounds containing
rare earth elements.

bX71

5 (Cp)

CeNi₂

B92-5063-VIII

1970

Wallase W.E. et al.

Collog. Int. Cent. Nat. Rech. Sci.

1970, No 180, 427-41.

(Cp)

• (var. LaSb; I)

$\text{Li}_3\text{Mg}_{2.5}\text{Ge}_{2.5}\text{O}_{12}$ u gp (Tm) VII 5380
 Gd_2Co_3 ; Ge_2O_{12} min a $\text{M}_3\text{M}_{2.5}\text{Ge}_{2.5}\text{O}_{12}$
zge M = Ce $\text{M}' = \text{Mg, Co, Ni, Zn}$

Bayer 6.,
Naturwissenschaften, 1971, 58,
N 12, 622

5

⑨

⑩

20

C972

VIII4903

1971

MNiO₃ M= Y, La, Nd, Sm, Eu, Gd, Ho, Er, Tm,

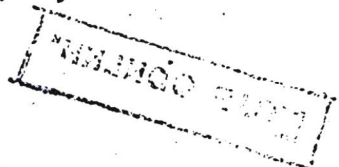
Yb, Ln (Tm, krist. str-ra)

Damazeau G., Marbeuf A., Hagenmuller P.,

Goodenough J.B.,

C.r. Acad. sci., 1971, 272C, 2163-66

Be, Al, M



⁸ VIII 5002
CeNi₅B, CeNi₄B, Ce₂Ni₂₁B₆, CeNi₁₂B₆, 1971
CeNi₂B₃, CeNiB₂ Крас. с. ф.-фа

Кузина М. Б., Бицомчако Н. С.
изд. Академии Наук СССР. 'Материалы'
1971, № 14, 620-623.

Состава Ce-Ni-B.

○ At M 12

DM, 1971, 8438

CeNi₅

Nasu, S.; et al

1971

(Cp)

"J. Phys Chem Solids"
1971, 32 (12), 2779-83.

● (eu. LaNi₅; I)

YaNi_5 ; CeNi_5 ; PrNi_5 , NdNi_5 ; GdNi_5 (P) 1971

Nasu S., Neumann H.H., Marzouk N.,
Craig R.S., Wallace W.E., VIII 5420

J. Phys. Chem. Solids, 1971, 32, N12,
2779-83 (arab.)

Specific heats of YaNi_5 , CeNi_5 , PrNi_5 ,
 NdNi_5 , and GdNi_5 between
1.6 and 40 K. CA, 1972, 76, N12, 64325m

An (op) b

CeRu_2 ; $\text{Ce}(\text{Ru}_{1-x}\text{Mnx})_2$, AlRu_2 (Ref. 2) (T_{tr}) 1971

CeMn_2 , CeCo_2 , CeNi_2 , CePt_2 , CePd_2 , CeRh_2

Wilhelm H., Hillenbrand B.

Ansp

Physica (Utrecht), 1971, 55, 608-14

VIII 5447 (casual.)

Preparation and the superconducting properties of CeRu_2 and its 14 mixed crystals with ARu_2 (A =rare earth element) and CeB_2 (B =manganese, iron-group elements) up to plateau magnetic moment: ca. 1972, 46, 114, 78204 h

$\text{La}_2 \text{Mg}_3 (\text{NO}_3)_{12} \cdot 24\text{H}_2\text{O}$; $\text{La}_2 \text{Zn}_3 (\text{NO}_3)_{12} \cdot 24\text{H}_2\text{O}$
 $\text{La}_2 \text{Ni}_3 (\text{NO}_3)_{12} \cdot 24\text{H}_2\text{O}$; $\text{La}_2 \text{Cu}_3 (\text{NO}_3)_{12} \cdot 24\text{H}_2\text{O}$
 $\text{Ce}_2 \text{Mg}_3 (\text{NO}_3)_{12} \cdot 24\text{H}_2\text{O}$; $\text{Ce}_2 \text{Zn}_3 (\text{NO}_3)_{12} \cdot 24\text{H}_2\text{O}$
 $\text{Ce}_2 \text{Nb} (\text{NO}_3)_{12} \cdot 24\text{H}_2\text{O}$; $\text{Ce}_2 \text{Cu}_3 (\text{NO}_3)_{12} \cdot 24\text{H}_2\text{O}$

Романов В. К., Икумов И. С.

Гусакова З. П.

VIII-5391

Ил. № 2000000, 1972, 17,

№ 1590-95

МВ

②

София

CeNi₂

B9 - VIII-5.646

1972

(C_P)

Heukamp

- 166966r Electronic specific heats of CeNi₂ and CeCo₂. Machado Da Silva, J. M.; Hill, R. W. (Clarendon Lab., Oxford Univ., Oxford, Engl.). *J. Phys. C* 1972, 5(13), 1584-8 (Eng). Measurements at 1-10°K show that CeNi₂ and CeCo₂ have large electronic sp. heats represented by $\gamma = 24.9$ and $38.2 \text{ mJ mole}^{-1} \text{ degree}^{-2}$, resp. Possible origins of these large values are discussed. A small sp. heat anomaly is found at 5.9°K in all specimens, and is believed to be due to uncombined Ce possibly in the cubic γ form.

Cd. 1972. 77. 10

(+)

CeCo₂

[X]

VIII

Cen i S; Cen i_{0,8-0,5} S_{1,2-1,5};

1973

Cen i₂ S₃.

VIII 5823

cr. str.

Богдан О.И., Неструев М.Г., Ткачукова А.Т.,
Харченко О.И., Гладышевский В.И.

Изд. АН СССР. Кеңгірлік. материалдар, 1973;

N 5, 864-866.

Сүргенса Чөміл - жекеңіл - көзделілік
бөлшегінде 33,3 ± 100 ат. %-деге.

РХ, 1973, № 591.

111

γ - aNi_5 ; CeNi_5 ; NdNi_5 ; GdNi_5 (Op) 1973
viii 5533

Marcoux N.; Craig R.S., Wallace W.E.,
J. Phys. Chem. Solids, 1973, 34, N°
15-21 (ann.)

Heat capacity and electrical
resistivity of some lanthanide
-nickel (LnNi_5) compounds
between 5 and 300°K.

6

Op S

EA, 1973, 78, 110, 631515

1973

CeCo₂

CeNi₂

20174q Specific heat of cerium-cobalt (CeCo₂) at temperatures between 1.5 and 300°K. Nasu, S.; Bechman, C. A.; Craig, R. S.; Marzwell, N.; Wallace, W. E. (Dep. Chem., Univ. Pittsburgh, Pittsburgh, Pa.). Report 1973, COO-3429-13, 18 pp. (Eng). From: Nucl. Sci. Abstr. 1973, 28(6), 13236. The

(cp)

(+) +

C.A. 1974. 80. N4

heat capacity C of CeCo_2 was measured at $T = 1.5$ to 13°K and 8 to 300°K . Results in the liq. He range show a marked deviation from the usual relation $C/T = \gamma + \beta T^2$, giving a min. at $T^2 \approx 5^\circ\text{K}^2$ when C/T is plotted against T^2 . The results are discussed in terms of spin fluctuation effects, suggested by the work of Doniach and Engelsberg, and of the magnetic cluster effect described by Schröeder. An approx. enhancement factor λ_t involving electron-phonon and electron-electron interactions is given. The large heat capacity near room temp. may be accounted for by an electronic contribution. The heat capacity behavior of CeCo_2 is similar in all respects to that previously obsd. for CeNi_2 .

VIII-5970 1974.
CeCo₂, CeNi₂ (C_P) 8

Masu S., Beckman C.H.
Craig R.S.; Marzwell N, Wallace W.E.

Report 1973, COO-3429-13, 18 pp, (Eng)
Specific heat of cerium-cobalt
(CeCo₂) at temperatures between
4.5 and 300°K.

for 

3

C.A. 1974. 80 n4. 20174g.

1077

Ce-Fe-Si

Ce-Ni-Si

Ce-Co-Si

88-1626'5z Magnetic properties of compounds of the cerium-M-silicon (M = iron, cobalt, nickel) system. Bodak, O. I.; Gladyshevskii, E. I.; Levin, E. M.; Lutsiv, R. V. (L'viv. Derzh. Univ., Lvov, USSR). *Dopov. Akad. Nauk Ukr. RSR, Ser. A: Fiz.-Mat. Tekh. Nauki* 1977, (12), 1129-32 (Ukrain). The magnetic susceptibilities of the compds. were measured at 77-300 K. Paramagnetic Curie temps. and effective moments were detd. Changes in the magnetic properties of isostructural compds. with 3d-metal substitution are considered. J. J. Pohl

Tcurve

C.A. 1978, 88, 0002

Ce_{(Co_{1-x} Ni_x)₅} 1974

Ermolenko A. S. et al.
IEEE Trans. Magn. 1974
Trans. IITG-13(5), 1339-41 (Eng.).

Tc_{23K}

cu. Y_{(Co_{1-x} Ni_x)₅}

$\text{Ce}(\text{Co}; \text{Ni})_5$ Ершовского А. С. 1974
et al

"Проф. хим. и химмасс-физ.",
1977, 48(2), 312-20.

Tcurve

• $(\text{аer. La}^{\text{I}}(\text{Co}; \text{Ni})_5)$

$\text{Ce}_x \text{Ni}_3 \text{H}_{19,2}$ Busch G. et al 1978

J. Hess - Common metals.,
1978, 60, n1, 83-89.

1 Hf



(crys. $\text{La}_x \text{Ni}_3 \text{H}_{19}$) \bar{I}

CeCl₃-NiCl₂

1978

91: 97482y Chloride systems with participation of nickel chloride. Phase diagram of the cerium chloride-nickel chloride system. Zviadadze, G. N.; Finikov, V. G.; Fomin, G. S. (Inst. Metall. im. Baikova, Moscow, USSR). Deposited Doc. 1978, VINITI 3-78, 10 pp. (Russ). Avail. VINITI. The CeCl₃-NiCl₂ phase diagram was constructed from DTA, chem. and x-ray phase anal. data. The system is simple eutectic-type (760°, 16 mol % NiCl₂). Thermog. study of the CoCl₂-NiCl₂ system at 26.1 and 41.7 mol. % CoCl₂ indicated a eutectic transition at 720°.

*pazob.
gmarf.*

C.A. 1979, 91N12

1980

Ce₃O₃

CeNi₃

Ttr

93: 196616: Magnetic properties of cerium-cobalt (CeCo₃), cerium-cobalt (Ce₂Co₇) and cerium-nickel (CeNi₃) compounds and their ternary hydrides. Buschow, K. H. J. (Philips Res. Lab., Eindhoven, Neth.). *J. Less-Common Met.* 1980, 72(2), 257-63 (Eng). The magnetic properties of the compds. CeCo₃, Ce₂Co₇ and CeNi₃ were detd. before and after charging with H gas. CeCo₃ and CeNi₃ are Pauli paramagnetic, whereas Ce₂Co₇ is ferromagnetic with $T_c = 50$ K. The hydrides CeCo₃H₄ and Ce₂Co₇H₇ are both ferromagnetic ($T_c = 80$ and 233 K, resp.). No magnetic ordering is obsd. in CeNi₃H₃. The effective moment derived from the temp. dependence of the reciprocal susceptibility in CeNi₃H₃ is $2.5 \mu_B(\text{Ce atom})^{-1}$. The changes in magnetic properties are discussed in terms of H-induced changes in the valence of the Ce ions in these compds.

(+) (x)

C.A. 1980. 93 N22

CeNi₅

Om. 18253) 1983

100: 57584f A thermodynamic study of cerium behavior in hexagonal cerium-nickel (CeNi₅) compound. Colinet, C.; Pasturel, A. (Lab. Thermodyn. Phys.-Chim. Metall., Ec. Natl. Super. Electrochim. Electrometall. Grenoble, 3402 Saint Martin d'Heres, Fr.). *Phys. Status Solidi A* 1983, 80(1), K75-K79 (Eng). Soln. calorimetry was used to det. the heats of formation of CeNi₅ [12323-63-6] and YNi₅ [12333-67-4] compds. The dissoln. heats of the compds. in liq. Al are also presented. The formation heats are -204.6 and -199 kJ/mol for YNi₅ and CeNi₅, resp. The crystal lattice parameters of the prepd. compds. were also detd. and all the values were compared to the existing data for these or similar compds. A calcn. method for the heats of formation of RNi₅ compds. (R = a rare earth) is proposed.

(4H)

④ YNi₅

C.A. 1984, 100, N8

CeNi₅

1983

Colinet C., Pasteur A.

AfM; Calorim. Anal. Therm.
1983, 14, 233-5.

(c.u. LaNi₅; ?)

CeNi

1983

4 E558. Промежуточное валентное состояние церия в CeNi. Intermediate valence state of cerium in CeNi. Gignoux D., Givord F., Lemaire R., Tasset F. «J. Less-Common Metals», 1983, 94, № 1: Proc. 6 Rare Earth Res. Conf., Tallahassee, Fla, Apr. 18—21, 1983. Pt 3, 165—172 (англ.)

G;

С целью изучения валентного состояния Ce в CeNi измерены параметры решетки CeNi при 300 К, коэф. теплового расширения, магн. восприимчивость, теплоемкость и электросопротивление в интервале т-р от 4 до 300 К. Аналогичные измерения проведены в LaNi, который был выбран в качестве объекта сравнения, имеющего, как и CeNi, орторомбич. структуру. Анализ полученных данных показывает, что в отличие от LaNi, свойства которого плавно изменяются при изменении т-ры, CeNi характеризуется аномалиями в интервале т-р 100—170 К. Указанные аномалии объясняются гибридизацией 3d-электронов и 5d-электронов Ce с образованием общей зоны в соединении CeNi, что приводит

cf. 1984, 18, № 4

к состоянию с промеж. валентностью, которое наблюдается во многих других соединениях Ce. По полученным в настоящей работе данным валентность Ce в CeNi изменяется от 3,5 до 3,3 в интервале T_p 4÷300 К. В отличие от большинства других соединений Ce, имеющих кубич. структуру, CeNi характеризуется существенной анизотропией аномалий, которая связана с более низкой симметрией орторомбич. структуры CeNi. Библ. 16.

А. Кутсар

ase
vs. C

CeNi_5

1984

Colinet C., Pasturel A.

$\Delta_f H$; Inorg. Chim. Acta, 1984,
94, N^o3, 66-67.

(Ce_xLaNi_5 ; I)

CeNi_5

1984

Colinet C., Pasturel A.

ΔH_f :

Inorg. chim. acta,
1983, (1984), 94(1),
Spec., 66-67.

(cer. LaNi_5 ; $\frac{1}{2}$)

1984

CeNi₂Ge₂
CeNi₂Si₂

/ 3 Б3020. Термовое расширение и теплоемкость соединений со смешанной валентностью. Thermal expansion and specific heat of mixed valence compounds. Pott R. «Phys. and Chem. Electrons and Ions Condensed Matter. Proc. NATO Adv. Study Inst., Cambridge, Sept. 6—17, 1983». Dordrecht e. a., 1984, 117—122 (англ.)

Обсуждены лит. и собственные данные по теплоемкости C и коэф. термового расширения α соединений Ce и Yb со смешанной валентностью $CeNi_2Ge_2$, $CeNi_2Si_2$, $CePd_3$, $YbNi_2Ge_2$, $YbInPd$, $YbInAu_2$ в интервале 1,5—400 К. Опытные данные представлены в графич. форме в виде разностей ΔC и $\Delta \alpha$ этих сплавов и св-в $LaNi_2Ge_2$. Немонотонный характер величин ΔC и $\Delta \alpha$ объясняется изменением электронного вклада Ce и Yb в C и α вследствие снятия энергетич. вырождения ионов этих элементов. Средняя валентность Ce равна 3,14, а Yb 2,89 при т-рах в обл. 400 К.

Л. А. Резницкий

9/1986, 19, N3

CeNi₂Ge₂

1984

2 E310. Термическое расширение и удельная теплоемкость соединений с смешанной валентностью. Thermal expansion and specific heat of mixed valence compounds. Pott Richard. «Phys. and Chem. Electrons and Ions Condensed Matter. Proc. NATO Adv. Study Inst. Cambridge, Sept. 6—17, 1983». Dordrecht e. a., 1984, 117—122 (англ.)

Термическое расширение CeNi₂Ge₂, YbNi₂Ge₂ и YbInAu₂ исследовано в емкостном дилатометре в интервале т-ры 1,5—400 К. Уд. теплоемкость этих соединений, а также CeNi₂Si₂ и CePd₃ измерена в том же температурном интервале. Делается сравнение поведения термического расширения и теплоемкости с соединениями, содержащими La, Y или Lu, изоструктурными рассматриваемым соединениям. Обнаружена существенная разница в поведении исследованных свойств этих двух групп соединений. Вычислено изменение энтропии в интервале т-ры от 0 до 400 К.

А. П. Рыженков

*термическое
расширение*

(42)

cf. 1986, 18, N2

CeNi₂Ge₂
CeNi₂Si₂

1984

102: 121041x Thermal expansion and specific heat of mixed valence compounds. Pott, Richard (II. Phys. Inst., Univ. Koeln, 5000 Cologne, 41 Fed. Rep. Ger.). *NATO ASI Ser., Ser. C* 1984, 130(Phys. Chem. Electrons Ions Condens. Matter), 117-22 (Eng). The thermal expansion and sp. heat of mixed valence (MV) Ce- and Yb-compds. were investigated at 1.5-400 K. Both properties are influenced strongly by the mixt. of the 2 integral valence states, as is shown by comparison of the behavior of the MV compds. with their stable valent La, Y or Lu isostructural ref. compds. The sp. heat data of CeNi₂Ge₂ (I), CeNi₂Si₂, CePd₃, YbNi₂Ge₂ (II), YbInPd (III), and YbInAu₂ (IV) as well as the thermal expansion data of I-IV are given. The resulting entropy anomaly and the valence change as function of temp. are discussed.

(P)

⑩ 18

C.A. 1985, 102, N 14.

$\text{La}_2\text{Ni}_5\text{C}_2$

1984

Тұмандык А. А.,
Жикеевская Н. В., и др.
Семей
и красава.
Сергект.

Ж. обн. Железо,

1984, 54, № 6, 1297 -

-1303

(см. $\text{La}_2\text{Ni}_5\text{C}_2$; I)

CeNi₅

1984

10 Б3058. Влияние неодима, меди и алюминия на характеристики гидрирования CeNi₅. Effect of neodymium, copper and aluminum on the hydriding characteristics of CeNi₅. Sinha V. K., Wallace W. E. «J. Less-Common Metals», 1984, 96, 283—290 (англ.).

Синтезированы гидриды сплавов Ce_{0,7}Nd_{0,3}Cu_{2,5}Ni_{2,5} и CeNi_{5-x-y}Cu_xAl_y ($2 < x < 2,5$; $0,2 < y < 0,5$ и $2,5 < x + y < 3,0$). Исходные сплавы готовили сплавлением соотв. кол-в металлов в индукц. печи (чистота: Ce 99,9; Nd 99,9; Ni 99,99; Cu 99,999 и Al 99,99%) в среде аргона. Приведены изотермы давл.—состав для систем из указанных сплавов с водородом при т-рах 0, 23, 45, 65 и 120° С. Емкость сорбированного водорода достигает 110—13 см³/г сплава. Алюминий и медь понижают

1984, 19, N 10

давл. водорода над гидридами, причем алюминий — в большей степени. Сплав $\text{CeNi}_{2,5}\text{Cu}_{2,3}\text{Al}_{0,2}$ (I) обладает емкостью 5 атомов водорода на формульную единицу и давл. водорода 1 атм. при 23°C . Энтальпия дегидрогенизации этого сплава составляет 14,2 кДж/моль H_2 . Изучена кинетика сорбции и десорбции водорода сплавами. Образцы I при 23°C сорбируют водород за 60 с, а десорбция при 50°C заканчивается за 200 с. Невысокая стоимость сплавов и их хорошие физ.-хим. характеристики делают возможным их применение в кач-ве материалов — накопителей водорода.

Л. Г. Титов

$\hat{e}(Cu_{1-x}Ni_x)_5$

1985

} 10 E295. Влияние перехода в состояние с промежуточной валентностью на теплоемкость соединения Ce-($Cu_{1-x}Ni_x)_5$. Алексеев П. А., Лазуков В. Н., Садиков И. П., Сергеева И. А., Хлопкин М. Н., Чистяков О. Д. «Письма в ЖЭТФ», 1985, № 12, 492—494

В низкотемпературной теплоемкости интерметаллидов $Ce(Cu_{1-x}Ni_x)_5$ ($0 \leq x \leq 0,8$), измеренной в магн. полях $B = 0 \div 8$ Тл, обнаружен пик от локализованных f -электронов ионов Ce, положение которого зависит от x и B . При $x \geq 0,6$ пик не наблюдается, что интерпретируется как проявление перехода ионов Ce в состояние с промежуточной валентностью.

Резюме

φ. 1985, 18, n10

$\text{Ce}(\text{Cu}_{1-x}\text{Ni}_x)_5$

1985

$$0 \leq x \leq 0.8$$

103: 77001d Effect of intermediate valence-state transitions on the heat capacity of the cerium copper nickel compound $(\text{Ce}(\text{Cu}_{1-x}\text{Ni}_x)_5)$. Alekseev, P. A.; Lazukov, V. N.; Sadikov, I. P.; Sergeeva, I. A.; Khlopkin, M. N.; Chistyakov, O. D. (Inst. At. Energ. im. Kurchatova, Moscow, USSR). *Pis'ma Zh. Eksp. Teor. Fiz.* 1985, 41(12), 492-4 (Russ). The heat capacities of intermetallic $\text{Ce}(\text{Cu}_{1-x}\text{Ni}_x)_5$ ($0 \leq x \leq 0.8$) were measured in the magnetic fields 0-8 T. Peaks of localized p -electron ions of Ce were obsd., the position of which depends on the value on x (comprn.) and the strength of the magnetic field. At $x \geq 0.6$, no peaks were obsd., which is explained by transition of Ce ions in a state with variable valence.

(G)

C.A. 1985, 103, N 10.

$\text{Ce}(\text{Ni}_{1-x}\text{Cu}_x)_5$ Om 22818 1985

8 Б3027. Термодинамическое изучение валентного состояния церия и аккумулирование водорода в сплавах $\text{Ce}(\text{Ni}_{1-x}\text{Cu}_x)_5$. Thermodynamic study of the valence state of cerium and hydrogen storage in $\text{Ce}(\text{Ni}_{1-x}\text{Cu}_x)_5$ compounds. Meyer-Liautaud F., Pasturel A., Allibert C. H., Colinet C. «J. Less-Common Metals», 1985, 110, № 1—2: Int. Rare Earth Conf., Zürich, March 4—8, 1985, Pt 1, 119—126 (англ.)

Определены $-\Delta H$ (обр., кДж/моль) сплавов $\text{Ce}(\text{Ni}_x\text{Cu}_{1-x})_5$, равные 179, 151, 129 и 100, для $x=0,806, 0,610, 0,394$ и 0,158 соотв. Методика заключалась в определении ΔH (раств.) сплавов в жидк. Al. Сплавы охарактеризованы методами хим., металлографич. и рентгенографич. анализа. Установлена линейная зависимость ΔH (обр.) сплавов от состава в системе CeNi_5 — CeCu_5 . ΔH (обр.) сплавов RNi_5 ($\text{R}=\text{La}, \text{Ce}, \text{Pr}, \text{Sm}$ и Gd) обнаруживают немонотонную зависимость с минимумом у CeNi_5 . Однако ΔH (обр.) сплавов RCu_5 изменяются ли-

ΔH_f :

X. 1986, 19, N8

нейно с увеличением порядкового номера элемента. Эти особенности объяснены положением уровня Ферми $E(F)$ Се относительно $4f^1$ -уровня. Вследствие переноса заряда от $5d$ -электронов Се в $3d$ -полосу Ni уровень $E(F)$ RNi_5 ниже, чем уровень Ферми для R , валентное состояние Се является промежуточным между 3 и 4. Поскольку $3d$ -полоса у Cu заполнена, то переноса заряда в Се- Cu_5 не происходит и валентность Се остается равной трем.

Л. А. Резницкий

1985

Ce(Co_{1-x}Ni_x)₂

2 Е308. Низкотемпературные измерения теплоемкости состояний со смешанной валентностью в системе Лавеса Ce(Co_{1-x}Ni_x)₂. Low temperature specific heat investigation of the mixed-valence regime in the Laves system Ce(Co_{1-x}Ni_x)₂. Oliveira M. A. Sá, J. B., Machado da Silva J. M., Harriss R. «J. Less-Common Metals», 1985, 108, № 2, 263—268 (англ.)

Проведены измерения теплоемкости соединений системы Ce(Co_{1-x}Ni_x)₂ со структурой фаз Лавеса. Теплоемкость измерялась от 1,3 до 15 К импульсным методом. Полученные данные могут быть описаны выражением $C/T = 3\gamma + 583T^2/0^3$ Дж·моль⁻¹·К⁻² после поправки на аномальный скачок теплоемкости вблизи 6 К. Зависимость величины коэф. γ от состава (x) характеризуется плавным понижением от 7 мДж·моль⁻¹К⁻² при $x=0$ до 1,2 мДж·моль⁻¹К⁻² при $x=0,67$ и увеличением γ при дальнейшем повышении x . Поскольку величина γ в теории локальной Ферми жидкости, используемой для описания электронной структуры Ce,

cf. 1986, 18, N 2

связана с числом f -электронов и шириной f -уровня, полученная зависимость γ от x свидетельствует о том, что валентность Ce в системе $\text{Ce}(\text{Co}_{1-x}\text{Ni}_x)_2$ зависит от конц-ии x . Этот вывод согласуется с результатами, полученными авторами ранее при измерениях магнитной восприимчивости и параметров решетки $\text{Ce}(\text{Co}_{1-x}\text{Ni}_x)_2$, но противоречит данным других работ о постоянном 4-валентном состоянии Ce в этой системе.
Библ. 15. А. Кутсар.

Оде^ж
ни 97

Ce(Co_{1-x}Ni_x)₂

1985

103: 130112u Low temperature specific heat investigation of the mixed-valence regime in the Laves system Ce(Co_{1-x}Ni_x)₂. Sa, M. A.; Oliveira, J. B.; Da Silva, J. M. Machado; Harris, I. R. (Cent. Fis., Univ. Porto, Porto, Port. 4000). *J. Less-Common Met.* 1985, 108(2), 263-8 (Eng). Heat capacity measurements of the system Ce(Co_{1-x},Ni_x)₂ are consistent with a significant change in the valency of Ce above $x \approx 0.67$. The compn. dependence of the γ factor is understood within Fermi liq. theory.

(G)

C.A. 1985, 103, N16.

CeNi₂

1986

2 Е326. Аномалии параметров решетки теплового расширения соединения Лавеса CeNi₂. Lattice spacing and thermal expansion anomalies in the Laves compound, CeNi₂. Наггис I. Р., Shields T. C., Oliveira J. M. DaC. Brochado. «J. Mater. Sci.», 1986, 21, № 7, 2449—2454 (англ.)

При коми. т-ре проведены измерения: параметров решетки CeNi₂ в зависимости от т-ры отжига и скорости охлаждения; параметров решетки соединений системы Ce(Ni_{1-x}Cu_x)₂ в зависимости от содержания Cu в интервале значений x от 0 до 0,15. Проведены также измерения коэф. теплового расширения CeNi₂ от 20 до 725° С. Установлено, что параметры решетки CeNi₂ резко уменьшаются при закалке от т-ры более 450° С, а вблизи 500° С наблюдаются аномалии теплового расширения, величина которых зависит от предыдущей термообработки образцов. При замене Ni небольшим

тепловое
расширение

сф. 1987, 18, № 2

кол-вом Cu ($x=0,03$) наблюдается резкое уменьшение параметров решетки соединения $\text{Ce}(\text{Ni}_{1-x}\text{Cu}_x)_2$. При последующем увеличении конц-ии Cu до $x=0,15$ параметры решетки соединений монотонно увеличиваются пропорционально x . Отмеченные выше аномальные изменения параметров решетки и теплового расширения объясняются увеличением конц-ии вакансий и соответствующим изменением электронной конц-ии и валентности иона Ce за счет изменения т-ры или состава. Оценка конц-ии вакансий из данных дилатометрич. измерений дает величину $\approx 2,1$ ат.% при 600°C . Библ. 22.

А. Кутсар



CeNiF_3

1986

104: 231682f Measurement of the specific heat of cesium nickel trifluoride: a search for spin solitons. Ramirez, Arthur Penn (Yale Univ., New Haven, CT USA). 1984. 224 pp. (Eng). Avail. Univ. Microfilms Int., Order No. DA8514682. From Diss. Abstr. Int. B 1986, 46(5), 1607-8.

(G)

c. A. 1986, 104, n26

CeCu_{2-x}Ni_xSi₂
(0 ≤ x ≤ 1,5)

1987

7 Б3009. Переход поведения теплоемкости через тяжелофермионное состояние к состоянию смешанной валентности в сплавах CeCu_{2-x}Ni_xSi₂. Specific-heat behavior across the heavy-fermion to mixed-valence transition in CeCu_{2-x}Ni_xSi₂ alloys. Kuentzler R., Dossmann Y., SamPATHkumaran E. V., Dhar S. K., Vijayagavan R. «Phys. Rev. B: Condens. Matter», 1987, 36, № 1, 788—789 (англ.)

Полуадиабатич. методом тепловых импульсов при $T = 1,5\text{--}18\text{ K}$ измерена теплоемкость псевдотройных тв. р-ров $\text{CeCu}_{2-x}\text{Ni}_x\text{Si}_2$ ($0 < x < 1,5$). Найдено, что частичное замещение Си на Ni в CeCu_2Si_2 значительно уменьшает линейный коэф. теплоемкости γ . Полученные результаты подтверждают сделанный ранее вывод, что прочность 4f-лигандной гибридизации в тяжелофермионном состоянии меньше, чем в состоянии смешанной валентности, и что отношение магн. восприимчивости (по мере того как $T \rightarrow 0$) к γ , по-видимому, возрастает с ростом x вследствие возможных изменений в степени вырождения основного состояния с добавлением Ni.

В. Ф. Байбуз

6;
X: 1988, 19, N 7,

CeNi₂Ge₂

от 30.10

1988

6 Е331. Исследования решетки Кондо посредством измерения теплоемкости, электрического сопротивления и метода рассеяния нейтронов. Specific heat, resistivity and neutron scattering studies in the Kondo lattice CeNi₂Ge₂ / Knopp G., Loidl A., Caspary R., Gottwick U., Bredl C. D., Spille H., Steglich F., Murani A. P. // J. Magn. and Magn. Mater.— 1988.— 74, № 3.— С. 341—346.— Англ.

Посредством измерений теплоемкости, электрич. сопротивления и неупругого рассеяния нейтронов исследованы поликристаллич. образцы CeNi₂Ge₂ (I). Температурная зависимость линейного вклада в теплоемкость, $\gamma(T)$, согласно калориметрич. измерениям, проведенным в диапазоне $70 \text{ мК} < T < 5 \text{ К}$, имеет максимум при $T \approx 0,3 \text{ К}$. Дальнейшее охлаждение приводит к понижению γ , приписываемому эффектам когерентности. Т. обр., эти эффекты становятся важными при $T < 0,3 \text{ К}$. Внешнее магн. поле несколько подавляет пик $\gamma(T)$. Теплоем-

окт. 1989, № 6

кость I может быть описана моделью Кондо со спином $1/2$ и т-рой Кондо $T_K = 29$ К. Согласно нейтронографич. измерениям температурная зависимость скорости магн. релаксации (из исследований ширины квазиупругой линии) сильно отклоняется от поведения типа Корринга, и обнаруживает плоский минимум при $T \approx 30$ К, определяющий т-ру Кондо в хорошем согласии с калориметрич. данными. Показано, что наблюдавшиеся квазиупругие линии можно удовлетворительно описывать, принимая лорентцеву форму. Проведенное исследование характеризует I как новое соединение с тяжелыми фермионами, не проявляющее фазовых переходов ни в магнитное, ни в сверхпроводящее состояние.

Библ. 24

А. А. Меликьян

х ре
кре

CeNi₂Ge₂

(On 30/10)

1988

(Cp)

110: 31986v Specific heat, resistivity and neutron scattering studies in the Kondo lattice cerium-nickel-germanium (CeNi₂Ge₂). Knopp, G.; Loidl, A.; Caspary, R.; Gottwick, U.; Bredl, C. D.; Spille, H.; Steglich, F.; Murani, A. P. (Inst. Phys., Univ. Mainz, D-6500 Mainz, Fed. Rep. Ger.). *J. Magn. Magn. Mater.* 1988, 74(3), 341-6 (Eng). Sp. heat, resistivity and inelastic neutron scattering expts. are reported, which demonstrate that CeNi₂Ge₂ exhibits a heavy-fermion ground state which is neither magnetic nor superconducting. The sp. heat coeff. $\gamma(T)$ reaches 350 mJ/K² mol and exhibits a peak at 0.4 K showing that coherence effects become important at low temps. The magnetic relaxation rates as measured via the line width in inelastic neutron scattering expts. are strongly enhanced and deviate from a Korringa law behavior. The kondo temp. of ≈ 30 K was detd. from the magnetic relaxation rates and from the sp. heat data.

C.A. 1989, 110, N4

LiNi_2S_2

Um. 30429 |

1988

Sampathkumar E.V.,
Dhar S.K. et al.,

Solid State Comm.
1988, 67, N10, 945-948

Г.
Марченко -
Богдан -
Ухоренко

Ce-Ni
enrich

1988

Sudavtsova V. S.,
Gorobets Yu. G.
et al.

T_m ; Rasplavy 1988, 2 (6),
79-81.

(eu. Ce-Si (enrich); ?)

CeNiIn

On 33630 1990

112: 205624j Specific heat of a new dense-Kondo system CeTIn ($T = \text{nickel, palladium, platinum}$). Satoh, Kazuhiko; Fujita, Toshizo; Maeno, Yoshiteru; Uwatoko, Yoshiya; Fujii, Hironobu (Fac. Sci., Hiroshima Univ., Hiroshima, Japan 730). *J. Phys. Soc. Jpn.* 1990, 59(2), 692-700 (Eng). Sp. heat of a newly-found dense-Kondo systems CeTIn ($T = \text{Ni, Pd, Pt}$) were measured between 60 mK and 80 K. For CePdIn and CePtIn, the ratio of sp. heat to temp. C/T , increases remarkably < 10 K, indicating the heavy-fermion nature. On the other hand, no enhancement of C/T is obsd. for CeNiln, suggesting the valence fluctuating state. A sharp peak in C/T is obsd. at 1.7 K for CePdIn, which is ascribed to an antiferromagnetic transition, whereas CePtIn does not show any signs of phase transition at least down to 60 mK. The variety of low-temp. behavior in CeTIn is discussed in terms of competition between the Kondo state and the RKKY interaction.

(t2) 18

c.a. 1990, 112, N22

CePdIn, CePtIn

1991

CeNiSn

3 E330. Аномалии теплового расширения соединения CeNiSn с тяжелыми фермионами. Anomalies in the thermal expansion of the heavy-fermion compound CeNiSn / Aliev F. G., Moshchalkov V. V., Scolozdra R. V., Lopez de la Torre M. A., Vieira S., Villar R., Alekseev P. A., Klement'ev E. S., Lazukov V. N., Sadikov I. P., Ivanov-Smolenskii G. A., Datt I. D. // J. Moscow Phys. Soc.—1991.—1, № 3.—C. 311—316.—Англ.

Приводятся результаты исследований коэф. объемного теплового расширения (КОР) CeNiSn и коэф. линейного теплового расширения (КЛР) для CeNiSn и LaNiSn. КОР измерялся в области 0,5—50 К емкостным методом, а КЛР в области 0—300 К рентгеновским методом. Показано, что при $T < 2$ К КОР CeNiSn меняет знак, что связано со слабым магн. взаимодействием. КЛР для данного соединения в области 10—300 К характеризуется сильной анизотропией. При $T < 50$ К КЛР вдоль оси c отрицательный, а вдоль осей a и b положительный. Замена Ce на La приводит к изменению знака КТЛ вдоль оси c , а КОР при этом изменяется слабо.

Малое
расширение

Ф. 1992, № 3.

CeNi₂Sn₂

1991

115: 40445y Competing interactions in the heavy-electron antiferromagnets CeM₂Sn₂ (M = Ni, Ir, Cu, Rh, Pd, and Pt). Beyermann, W. P.; Hundley, M. F.; Canfield, P. C.; Thompson, J. D.; Latroche, M.; Godart, C.; Selsane, M.; Fisk, Z.; Smith, J. L. (Los Alamos Natl. Lab., Los Alamos, NM 87545 USA). *Phys. Rev. B: Condens. Matter* 1991, 43(16-A), 13130-6 (Eng). Specific-heat, magnetic-susceptibility, and resistivity measurements on annealed polycryat. samples of CeNi₂Sn₂, with M = Ni, Ir, Cu, Rh, Pd, and Pt, indicate that each of these compds. orders antiferromagnetically at Neel temps. T_N between ~0.5 and 4.2 K. Just above T_N , all these materials have a significant enhancement of their electronic sp. heat, which can be as large as 3-4 J/mol K². The role is discussed of crit. fluctuations on the sp. heat and it is argued that the enhancement is assoccd. with a large effective mass and not fluctuations. The anomalously low ordering temps. and very large electronic sp. heat suggest that T_N and the Kondo temp. T_K are comparable, making these materials particularly attractive for studying the competition between Kondo and Ruderman-Kittel-Kasuya-Yosida interactions. Measurements of the presence dependence of T_N in CeIr₂Sn₂ were performed to explore this competition, which was discussed in terms of the Doniach Kondo-necklace model.

C.A. 1991, 115, N 4

$CeNi_2Al_5$

Om 35915 1991

11a. 61655x Electrical resistivity, m. magnetic susceptibility and specific heat of a new dense Kondo compound cerium-nickel-aluminum ($CeNi_2Al_5$). Isikawa, Yoshiaki; Mizushima, Toshio; Oyabe, Kazunori; Mori, Katsunori; Sato, Kazuo; Kamigaki, Kazuo (Coll. Zn. Arts, Toyama Univ., Toyama, Japan 930). *J. Phys. Soc. Jpn.* 1. 31, 60(6), 1869-72 (Eng). The elec. resistivity, magnetic susceptibility and sp. heat of a ternary intermetallic compd. $CeNi_2Al_5$ were measured. $CeNi_2Al_5$ is a new dense Kondo compd. with a Neel temp. of 2.6 K. The temp. dependence of the resistivity has a broad peak at 4.0 K, reflecting the coherence of the Kondo scattering. The ground state of the Ce ions is detd. to be doublet from the result that the entropy equals $R \ln 2$ when the area of a tail extended by the short-range order is included. A spin-flip is obsd. in high magnetic field, and a magnetic phase diagram is roughly estd.

(P)

c.A. 1991, 115, n6

CeNiSn

1991

72 E340. Теплопроводность монокристаллов CeNiSn.
Thermal conductivity of CeNiSn single crystals / Tsikawa
Yosikazu, Mori Katsunori, Ogiso Yoshiaki, Oyabe Kazu-
nori, Sato Kiyoo // J. Phys. Soc. Jap.— 1991.— 60,
№ 8.— C.2514—2517.— Англ.

В интервале т-р 1,6—18 К вдоль трех главных осей a , b , c измерена теплопроводность K ромбич. монокри-
сталла CeNiSn. Образцы выращивались методом Чох-
ральского со скоростью 10—15 мм/ч при вращении со
скоростью 5 об/мин в атмосфере Ar под давлением
6 Тор. K обнаруживает сильную анизотропию. Вдоль
оси b величина K имеет широкий максимум при 5,6 К
и излом при 6,9 К. Эти особенности объясняются обра-
зованием энергетич. щели в тяжелофермионном соеди-
нении полупроводн. типа. Ниже 2,6 К величина K вдоль
всех осей пропорциональна $T^{1,5}$. Носителями тепла яв-
ляются главным образом фононы, рассеиваемые элек-
тронами, что подтверждается также данными по элек-
тросопротивлению и теплоемкости.

Миноги
носчи

cf. 1992, № 2

CeNiAl₄ [Ornance 35718] 1991

Mizushima T., Tsikawa Y.,
et al.,

(P) J. Phys. Soc. Jap. 1991,
60, N3, 753-756.

CeNi

1991

) 1 E391. Влияние давления на тепловое расширение соединения смешанной валентности CeNi. Effect of pressure on the thermal expansion of mixed-valence compound CeNi / Okita Hikaru, Uwatoko Yoshiya, Oomi Gendo, Sakurai Junji // J. Phys. Soc. Jap.— 1991.— 60, № 6.— С. 1856—1859.— Англ.

Приводятся результаты исследования коэф. теплового расширения (КТР) CeNi в области 4,2—200 К при изменении давления до 15 кбар. КТР измерен вдоль осей a , b и c . Установлено, что α_a при $T < 170$ К является отрицательным, α_b и α_c — положительны во всей области т-р. Определен характер барич. зависимости КТР при различных T . Показано, что в области низких т-р КТР данного соединения определяется двумя составляющими — колебаниями решетки и изменением плотности состояния на уровне Ферми при воздействии давления.

H.O.

КДР. № 100
расширен.

phi. 1992, n 1

CeNi_{5-x}P₃

1992

4 Б2033. Новый фосфид $CeNi_{5-x}P_3$ ($x=0,1$) и его кристаллическая структура /Бабижецкий В. С., Орищин С. В., Чихрий С. И., Кузьма Ю. Б. //Кристаллография .—1992 .—37 ,№ 4 .—С. 1024—1026 .—Рус.

Проведен РСТА (λ Mo, 308 отражений, R 0,071) $CeNi_{5-x}P_3$ ($x=0,1$). Кристаллы монокл., а 24,701, b 24,785, с 10,619 Å, β 105,2°, ф. гр. $C\bar{2}/m$. В структуре $CeNi_{3-x}P_3$ ($x=0,1$) каждые четыре фрагмента $CeNi_6P_3$ последовательно соединены между собой ребрами из атомов никеля и смешены на половину периода b относительно четырех таких же фрагментов.

X. 1993, № 4

Ce₉Ni₂₆P₁₂

1992

6 В5. Синтез и кристаллическая структура новых фосфидов $\text{Ln}_9\text{Ni}_{26}\text{P}_{12}$ (Ln —Се, Пр, Нд, Еу) /Бабижецкий В. С., Чихрий С. И., Орищин С. В., Кузьма Ю. Б. //Ж. неорганической химии.—1992.—37, № 12.—С. 2660—2662.—Рус.

Методом электродуговой плавки чистых компонентов получено новое соединение $\text{Ce}_9\text{Ni}_{26}\text{P}_{12}$ и рентгеновским исследованием монокристалла установлено, что его кристаллическая структура является первым представителем нового структурного типа: пр. гр. Р6м2, а 1,4620(10), с 0,3863(3) нм, R 0,069 для 189 рефлексов с $F_{hkl} > 10\sigma(F_{hkl})$. Синтезированы изоструктурные соединения $\text{Ln}_9\text{Ni}_{26}\text{P}_{12}$ (Ln —Пр, Нд, Еу).

Кристаллическая структура

X. 1993, N 6

CeNi_x

1992

} 1 ИЗ00. Энталпии смешения никеля с церием и ва-
лентное состояние церия в расплаве / Николаенко И.
В., Власова О. В. // Расплавы. — 1992, № 4. — С.
79—83. — Рус.

Ф 1993, N 1

$\text{Ce}(\text{Fe}_{1-x}\text{Ni}_x)_2$ 1992

$0 \leq x \leq 0.20$ Pillmayr N.,

Schaudy G. et al.

(G) J. Magn. Magn. Mater.
1992, 104-107, 881-2.

(see $\bullet \text{Ce}(\text{Fe}_{1-x}\text{Al}_x)_2$, I)

$\text{CeNi}_5 + \text{H}_2$

1993

120: 145803v Thermodynamic study of the CeNi₅-H₂ and TiMn₂-H₂ in the pressure range to 200 MPa. Klyamkin, S. N.; Karikh, A. A.; Demidov, V. A.; Verbetskii, V. N. (Moscow Gos Univ., Moscow, Russia). *Nerogr. Mater.* 1993, 29(9), 1233-7 (Russ). Specially constructed instruments were used to study the interactions of H₂ with CeNi₅ and Mn₂Ti at 195-700 K and pressures of 0-250 MPa. A hysteresis was obsd. in the absorption-desorption of H₂ and it was related to the temp. and oscillation cycles of the absorption-desorption processes. The equil. pressures of H₂ and the thermodynamic functions of the α - β and β - α transitions of the solid solns. in the systems were also de:d.

(α) $\text{Mn}_2\text{Ti} + \text{H}_2$

c.A. 1994, 120, N12

LaNi_5

1993

Xiao Li - Sheng,
Yu Hua - Long et al.,

sft g. Rare Earths. / Chen.
soc. Rare Earths. - 1993. -
II, N1, 28 - 31.

(all. LaNi_5 ; Γ)

CeNiSn

1994

Nishigori S., Suzuki T.,
et al.,

(6)

Physica B (Amsterdam) 1994,
199-200 (1-4), 473-4.

(all. CeRh88; I)

Ce Ni₅ 1994.

Xiao Lisheng, Yu Hua-long, et al.

(A_fG) Zhongguo Xitu Xuebao
1994, 12(1), 15-18.

(see: LaNi₅; ?)

1995

Ce₂Ni₂Sn

) 24 Б2294. Кристаллическая структура, магнитные и
электрические свойства нового тройного станида Ce-
Ni₂Sn. Crystal structure, magnetic and electrical properties
of the new ternary stannide Ce₂Ni₂Sn / Fourgeot F.,
Chevalier B., Gravereau P., Fournès L., Etourneau J. // J.
Alloys and Compounds .— 1995 .— 218 , № 1 .— С.
90—94 .— Англ.

Структура

X. 1995, N 24

CeNi₅Hx

1995

4 Б37. Термодинамические особенности некоторых систем гидридов металлов на основе CeNi₅ с высоким давлением диссоциации. Thermodynamic particularities of some CeNi₅-based metal hydride systems with high dissociation pressure : Pap. Int. Symp. Metal-Hydrogen Syst. — Fundam. and Appl., Fujiyoshida-shi, Yamanashi-ken, Nov. 6—11, 1994 / Klyamkin S. N., Verbetsky V. N., Karih A. A. // J. Alloys and Compounds .— 1995 .— 231 , № 1 - 2 .— С. 479—482 .— Англ.

(ΔH)

Методом высокого давл. газа при т-рах 273—353К исследовано влияние состава сплава, т-ры и циклов активированных абсорбции—десорбции на термодинамич. параметры (равновесное давл. абсорбции и десорбции, коэф. гистерезиса, изменения энталпии и энтропии) вз-вия водорода с интерметаллич. соед. CeNi₅ и тв.

р-рами Ce_{0,9}La_{0,2}Ni₅ и Ce_{0,8}La_{0,2}Ni_{4,7}Cu_{0,3}.

В. Ф. Байбуз

ж. 1997, № 4

CeNi₃N

1995

(C_p)

123: 67242g Specific heat study of energy gap formation in CeNiSn and CeRhSb. Nishigori, Shijo (Faculty of Science, Hiroshima University, Higashi-Hiroshima, Japan 724). *J. Sci. Hiroshima Univ., Ser. A: Phys. Chem.* 1995, 59(1), 23-50 (Eng). Sp. heats of dense-Kondo compds. CeNiSn, CeRhSb, and CeNi_{1-x}Pt_xSn ($x = 0.03, 0.06, 0.12, 0.20$ and 0.33) and CeNi_{1-y}Co_ySn ($y = 0.03$ and 0.10) were measured between 1.3 and 60 K in order to elucidate the mechanism of the energy gap formation in these compds. The magnetic sp. heat divided by temp. C_m/T of CeNiSn and CeRhSb marks a max. at T_{max} and substantially decreases at low temps. This characteristic behavior is attributed to the energy gap opening in the heavy quasiparticle band developed by the dense Kondo effect. The T_{max} is proportional to the gap energy which is revealed by fitting C_m/T based on a model of the d. of states with a V-shaped gap. The Kondo temps., T_K , of these materials were estd. from the magnetic entropy S_m estd. by integrating C_m/T with T. obtained values of T_K for CeNiSn and CeRhSb are 51 and 89 K, resp. For CeNi_{1-x}Pt_xSn and CeNi_{1-y}Co_ySn, T_K decreases with increasing x whereas increases with increasing y .

C.A. 1995, 123, N6

CeNi₅B₃ 1995

Yamaguchi T., Kim. D-Y.,
et al.,

H(T)-H(298), γ -Alloys and Compounds
1995, 221, C. 161-168

Diff

P. Al. X. N23, 1995, 235384

CeNi₂
CeNi₅ Reddy B.P., Babu R.,
 Nagarajan L., et al.
 1996

Enthalpies of formation
of CeNi₂ and CeNi₅
(GHS) by Calorimetry.

14th IUPAC Conference on
Thermodyn. Abstracts.
Osaka, 1996, 296

C.Ni2Ge2

1997

128: 29519y Specific heat study of non-Fermi liquid behavior in CeNi_2Ge_2 : anomalous peak in quasiparticle density-of-states. Aoki, Yuji; Urakawa, Jun; Sugawara, Hitoshi; Sato, Hideyuki; Fukuhara, Tadashi; Maezawa, Kunihiko (Department of Physics, Faculty of Science, Tokyo Metropolitan University, Hachioji, Japan 192-03). *J. Phys. Soc. Jpn.* 1997, 66(10), 2993-2996 (Eng). Physical Society of Japan. To study the non-Fermi liq. (NFL) behavior in a nonalloyed system CeNi_2Ge_2 , the authors have measured the temp. and field dependences of the sp. heat C on a CeNi_2Ge_2 single crystal. The distinctive temp. dependence of C/T ($- \alpha - \beta\sqrt{T}$) is destroyed in almost the same manner for both field directions of B_{lc} -axis and B_{la} -axis. The overall behavior of $C(T, B)$ and the low-temp. upturn in $\chi(T)$ can be reproduced, assuming an anomalous peak of the quasiparticle-band d.-of-states (DOS) at the Fermi energy possessing $\sqrt{\epsilon}$ energy dependence. Absence of residual entropy around $T = 0$ K in $B = 0$ T was confirmed by the magnetocaloric effect measurements, which are consistent with the present model. The present model can also be applied to the NFL behavior in $\text{CeCu}_{5.9}\text{Au}_{0.1}$ using a $\ln(\epsilon)$ -dependent peak in the DOS. Possible origins of the peak in the DOS are discussed.

(Cp)

C.A. 1998, 128, N3

Ce_2X_2In

1997

$X = Ni, Rh,$
 $Pt, Pd, Cu,$

Au

(9)

127: 58631p Specific heat and electrical resistivity studies on Ce_2T_2In , $T = Ni, Rh, Pt, Pd, Cu$ and Au . Hauser, R.; Michor, H.; Bauer, E.; Hilscher, G.; Kaczorowski, D. (Institut Experimentalphysik, A-1040 Vienna, Austria). *Physica B (Amsterdam)* 1997, 230-232, 211-213 (Eng), Elsevier. Sp. heat measurements under external magnetic fields and pressure-dependent elec. resistivity measurements were performed on the new ternary compds. Ce_2T_2In . While the compds. with $T = Pd, Cu$, and Au are magnetically ordered Kondo lattices, those with $T = Ni$ and Rh are intermediate valence compds. Ce_2Pt_2In was found to be a nonmagnetic heavy fermion system with a pronounced pressure dependence of the Kondo interaction.

④ 45 17

Ce_2Rh_2In , Ce_2Pt_2In ,
 Ce_2Pd_2In , Ce_2Cu_2In ,
 Ce_2Al_2In

C.A. 1997, 127, N4

1997

CeNi₂
CeNi₅

127: 239510u Enthalpies of formation of CeNi₂ and CeNi₅ by calorimetry. Prabhakara Reddy, B.; Babu, R.; Nagarajan, K.; Vasudeva Rao, P. R. (Fuel Chemistry Division, Chemical Group, Indira Gandhi Centre for Atomic Research, Kalpakkam 603 102, Tamil Nadu, India). *J. Nucl. Mater.* 1997, 247, 235–239 (Eng), Elsevier. The enthalpies of formation of the intermetallic compds. CeNi₂ and CeNi₅ at 298.15 K have been detd. by high temp. soln. calorimetry. The thermal effects of dissoln. of nickel, cerium and the intermetallic compds. in liq. aluminum at 1095.15 K were detd. as a function of concn. of the solutes from which the resp. thermal effects of dissoln. at infinite diln. were derived. The enthalpies of formation of the compds. at 298.15 K were computed from these values of thermal effects of dissoln. at infinite diln. The enthalpies of formation of CeNi₂ and CeNi₅ at 298.15 K thus obtained are -115.8 ± 7.3 and -201.9 ± 11.9 kJ mol⁻¹, resp. The present enthalpy of formation of CeNi₅ is compared with the earlier literature values. In the case of CeNi₂, the study provides the only exptl. data for the enthalpy of formation.

Karapur Mery,

127

C.A.1997, 127, N18

CeNi₃

1998

RNi

R = Ce, Pr, Nd,
Sm, Gd, Tb,
Ho, Tm, all

for CeNi₃

Kanepulangkul

CA 1998, 129, n5

✓ 129: 59353c Standard enthalpies of formation of CeNi₅ and of RENi (RE=Ce, Pr, Nd, Sm, Gd, Tb, Ho, Tm and Lu), determined by high-temperature direct synthesis calorimetry. Guo, Qiti; Kleppa, Ole J. (The James Franck Institute, The University of Chicago, 5640 South Ellis Avenue, Chicago, IL 60637 USA). *J. Alloys Compd.* 1998, 270(1-2), 212-217 (Eng), Elsevier Science S.A.. The std. enthalpies of formation of 10 alloys formed between Ni and rare earth elements have been detd. or redetd. by high-temp. direct synthesis calorimetry at 1476 ± 2 K, 1400 ± 2 K (for TmNi), or 1274 ± 2 K (for SmNi). The following values of ΔH_f° , in kJ/mol-atom, are reported for CeNi₅, -28.1 ± 1.3 , CeNi -30.3 ± 1.4 , PrNi -28.1 ± 1.1 , NdNi -25.0 ± 1.5 , SmNi -36.4 ± 0.7 , GdNi -29.9 ± 1.1 , TbNi -36.8 ± 1.4 , HoNi -41.7 ± 1.4 , TmNi -46.4 ± 1.6 , and LuNi -47.3 ± 2.2 . The results are compared with pre-

✓ dicted values from the Miedema model and with earlier calorimetric values in the literature for CeNi₅, GdNi, DyNi and ErNi.

1998

F: Ce-Ni-In

P: 1

131:328123 Interaction of metals in the system Ce-Ni-In. Kalichak, Ya. M. L'vivs'kii Derzhavnii Univ. im. I. Franka Lvov, Ukraine Ukr. Khim. Zh. (Russ. Ed.), 64(7-8), 15-20 (Russian/Ukrainian) 1998 Institut Obshchei i Neorganicheskoi Khimii im. V. I. Vernadskogo NAN Ukrayny. Ukr. Khim. Zh (Russ. Ed.)

64 7-8 15-20 Russian/Ukrainian

1998 The isothermal cross-sections

were made in the phase diagram of the Ce-N In system at 870 K in the region of 0-0.333 Ce at. fractions and at 670 K region of 0.333-1 Ce at. fractions using x-ray and microstructural analys The 13 ternary compds. were found in this system and the literature data crystal structures of the 10 compds. were compared. The system under investigation was taken in line with the related systems of Ce-Ni-X (X = Sn) and Ce-Cu-In. The influence of the compn. on valence state of Ce ato the compds. was analyzed.

1998

Li Ni₂Si₂

Li Ni₂Si₂

Li Ni₂Si₂

Li Ni₂Si₂

(Tm)

Morozkin A.R. et al.)

γ -Alloys Compd. 1998,
264 (1-2), 190 - 196

(all. La  Li Si₂; I)

CeNiSn (K)

1999

(C_p)

(25 mK - 5 K)

131: 93186b Low temperature specific heat of the Kondo-semimetal CeNiSn in zero and applied magnetic fields. Bruckl, A.; Neumaier, K.; Einzel, D.; Andres, K.; Flaschin, S.; Kalvius, G. M.; Nakamoto, G.; Takabatake, T. (Walther-Meissner-Institute, 85748 Garching, Germany). *J. Low Temp. Phys.* 1999, 115(5/6), 291–306 (Eng), Kluwer Academic/Plenum Publishers. The sp. heat of several CeNiSn single crystals of various purity has been measured in the temp. range from 25 mK to 5 K and in magnetic fields from zero to 7 T. At very low temps. (below ~200 mK) the sp. heat is found to vary linearly with temp. ($C = \gamma T$), the coeff. γ decreasing with increasing purity. Above 200 mK,

C.A. 1999, 131, N7

the sp. heat is well described as the sum of a linear and a quadratic term. An applied magnetic field affects mostly the linear term, which first slightly decreases, then strongly increases with field. In magnetic fields, a nuclear hyperfine sp. heat contribution is superimposed, which is due mostly to the bare Zeeman-splitting of the ^{115}Sn , ^{117}Sn , ^{119}Sn nuclei (all with spin $I = 1/2$ and with abundances of 0.35, 7.61, and 8.58% resp.) in the externally applied field. The results on the sp. heat at very low temps. in applied fields fit into the model of an enhanced (heavy-fermion type) d. of states which is modified by coherent antiferromagnetic fluctuations into a V-shaped d. of states at the Fermi energy.

Ce₂Ni₂Cd

2000

F: Ce₂Ni₂Cd (структурна)

P: 1

01.14-19Б2.17. Ce[2]Ni[2]Cd - новое соединение церия с промежуточной валентностью. Ce[2]Ni[2]Cd - a new intermediate-valent cerium compound / Niepmann Dirk, Pottgen Rainer, Kunnen Bernd, Kotzyba Gunter // J. Solid S Chem. - 2000. - 150, N 1. - C. 139-144. - Англ.

Синтезирован Ce[2]Ni[2]Cd (I) из простых веществ в запаянной танталовой т в высокочастотной печи с камерой для образца, охлаждаемой водой. Структур уточнена из данных РСТА: упорядоченный тип U[3]Si[2], P4/mbm, a 755,67, c 375,16 пм, wR[2]=0,0408, 232 значения F{2} и 13 параметров. Уточнение параметров занятости показывает дефекты в позициях никеля, что приводит к составу Ce[2]Ni[1,88(1)]Cd для исследованного кристалла. Структуру можно описать, как прорастание связанных блоков CsCl и AlB[2] составов CeCd и CeNi[2]. Измерения магнитной восприимчивости указывают на свойства, присущие

атомам церия с промежуточной валентностью. - данные магнитной восприимчивости можно описать видоизмененным выражением Кюри-Вейса с ' Θ ' [р]=-5,2 К, ' μ ' [экс]=0,79 ' μ ' [В]/Се и температурно-независимым вкладом ' χ_0 ' [о]= $67,5 \times 10^{-9}$ м³/моль.

Измерения

температурнозависимого сопротивления говорят о металлических свойствах с удельным сопротивлением $140' + '20$ ' μ при комнатной температуре. Ниже 50 К удельное сопротивление обнаруживает зависимость T^2 с ' ρ_0 '=84 ' μ 'Омсм и $A=0,0056$ (' μ 'Омсм)/К².

2000

F: Ce7Ni3

P: 1

134:243346 Specific-heat measurement by AC method. Umco,
Kazunori. Advanced Science and Materials, Hiroshima University,
Japan. Koatsuryoku no Kagaku to Gijutsu (2000), 10(Spec. Issue),
27. in Japanese.

The study presents the cross section of the pressure cell used for
the measurement, the temp. dependence of the sp. heat of In and
addenda under pressures, and the sp. heat of Ce7Ni3.

C Ni_{1-x} Lux Sn [Om. 40837] 2000

Vollmer h., Mokovic T.
et al.,

Kuglerenq.

merges.

ib-ia

Physica 2000, b291,
307-309.

CeNi_{1-x}Ge (O.M. 41298)

2002

Marcano N., et al.,

C_p Physica 2002, 332-333,
10.1-300K) 246-247.

Specific heat $\gamma\theta$
CeNi_{1-x}Ge in the 0.2

to 800K temperature range.